



Optimization weldability of Haynes 25 cobalt base superalloy with pulsed fiber laser

R. Abbasi¹, S. A. A. Akbari Mousavi^{1*}, Y. Vahidshad²

1-Metallurgy and Materials Engineering, College of Engineering, University of Tehran, Tehran, Iran.

2-Space transportation research institute, Iranian Space Research Center.

Received 21 April 2024 ; Accepted 19 June 2024

Abstract

The present study focuses on optimizing the mechanical properties and microstructure of laser welding in Haynes 25 (L-605) cobalt-based superalloy. Initially, the influence of laser welding variables such as laser power, pulse frequency, welding speed, and pulse width on the mechanical and metallurgical properties of the weld joints is investigated. By examining the welding variables, the values of G (thermal gradient) and R (cooling rate) are calculated, and their ratio (G/R) and cooling rate (G×R), which predominantly affect the solidification microstructure, are determined. The structural correlation with the mechanical properties resulting from welding is examined. In this research, it is considered to obtain the welding variables to create a high percentage of the structure in the form of equiaxed dendrite. Microstructural analysis reveals the growth of equiaxed grains and dendritic structures in the weld zone. The high cooling rate in the weld pool leads to dendritic solidification starting from columnar dendrites at the weld walls and ending in equiaxed dendrites at the center of the weld. The microhardness value in the weld zone is HV 328, which is very close to the microhardness of the base material. The tensile strength of the weld samples reaches about 93% to 94% of the base metal tensile strength. Tensile testing of the weld samples indicates a ductile-brittle fracture. Examination of the scanning electron microscope confirms the presence of dimples, intergranular cracks, and microvoids in the fracture zone.

Keywords: Haynes 25, microstructure, mechanical properties, fiber laser welding, dendritic growth, fractography.

✉ Corresponding Author: akbarimusavi@ut.ac.ir



بهینه‌سازی جوش پذیری ابرآلیاژ پایه کبالت هاینس 25 با لیزر فیبری ضربانی

رضا عباسی^۱، سیدعلی اصغر اکبری موسوی^{*۱}، یاسر وحید شاد^۲

^۱-دانشکده مهندسی متالورژی و مواد، دانشکدگان فنی، دانشگاه تهران.

^۲-پژوهشکده حمل و نقل فضایی، پژوهشگاه فضایی ایران.

دریافت مقاله: ۱۴۰۳/۰۲/۰۲؛ پذیرش مقاله: ۱۴۰۳/۰۳/۳۰

چکیده

مطالعه حاضر بهینه‌سازی خواص مکانیکی و ریزساختاری جوشکاری لیزر ابرآلیاژ پایه کبالت هاینس 25 (L-605) را بررسی می‌کند. تأثیر متغیرهای جوشکاری لیزر مانند قدرت پرتو لیزر، بسامد ضربانی، سرعت جوشکاری و پهنهای زمانی ضربان بر خواص مکانیکی و متالورژیکی اتصالات جوش مورد بررسی قرار می‌گیرد. با بررسی متغیرهای جوشکاری مقادیر G (شیب حرارتی) و R (نرخ انجماد) و همچنین تحت تبرید (G/R) و سرعت سرمایش (G×R) که بر ریزساختار انجام د غالب هستند، محاسبه و همبستگی ساختاری با خواص مکانیکی حاصل از جوش بررسی می‌گردد. در این تحقیق بدست آوردن متغیرهای جوشکاری برای ایجاد درصد بالایی از ساختار به صورت دندربیت هم محور مد نظر می‌باشد. بررسی ریزساختاری رشد دانه همپایی و ساختارهای دندربیتی در ناحیه جوش را نشان می‌دهد. سرعت انجامد بالا در حوضچه جوش سبب انجام دندربیتی شد که از دندربیت‌های ستونی دیوارهای جوش شروع می‌شود و به دندربیت‌های هم محور در مرکز جوش متنهای می‌شود. مقدار ریزسختی در ناحیه جوش برابر 328 ویکرز می‌باشد که به سختی ماده اصلی بسیار نزدیک است. استحکام کششی نمونه‌های جوش به حدود 93% و 94% استحکام کشش فلزپایه می‌رسد. بررسی آزمون کشش نمونه‌های جوش حاکی از شکست نرم-ترد است. با بررسی میکروسکوپی الکترونی رویشی وجود فرورفتگی‌ها، شکاف بین دانه‌ای و ریز حفره‌ها در ناحیه شکست تأیید شد.

کلمات کلیدی: هاینس 25، ریزساختار، خواص مکانیکی، جوش لیزر فیبر، رشد همپایی، شکست نگاری

* نویسنده مسئول، پست الکترونیکی: akbarimusavi@ut.ac.ir

۱- مقدمه

پژوهشی واحد شرایط می‌کند. وجود تنگستن، کروم و مولیبدن باعث افزایش نقطه ذوب، سختی و چگالی آلیاژ مذکور می‌شود. ابرآلیاژهای کبالت از طریق فرایند ذوب القایی خلاء و به دنبال آن پالایش سرباره الکترونی تولید می‌شوند که منجر به آخالهای غیرفلزی بسیار کم و در نتیجه نقص‌های کریستالی محدود می‌شود [۱-۴]. گاهی اوقات نیز مشاهده می‌شود که این آلیاژ نسبت به ابرآلیاژهای مبتنی بر نیکل برتری دارد زیرا مقاومت در برابر شوک حرارتی و خواص ضدخوردگی بهتری حتی در

ابرآلیاژ پایه کبالت L-605 یک ماده ارجح برای طیف وسیعی از کاربردهای با دمای بالا مانند پرهای توربین گاز، قطعات موتور جت، سامانه‌های هوافضا، محفظه‌های احتراق و... است. به دلیل استحکام مکانیکی و خستگی عالی، زیست سازگاری؛ مقاومت در برابر خوردگی و اکسیداسیون، آن‌ها همچنین کاربردهای گسترده‌ای در صنایع شیمیایی، دریایی و زیست پژوهشی دارند. وجود کبالت و کروم آن را برای کاربردهای گسترده زیست

جوشکاری لیزر و پرتو الکترونی برآورده شوند [12]. بررسی متون موجود نشان می‌دهد که تحقیقات محدودی برای بررسی قابلیت جوش پذیری آلیاژ L-605 انجام شده است.

هدف از این تحقیق بررسی ارتباط بین خواص مکانیکی و ریزساختاری جوش لیزر فیبر ضربانی با تمرکز بر متغیرهای جوشکاری مانند توان حداکثری، پهنای زمانی ضربان، بسامد و سرعت جوشکاری است. با بررسی متغیرهای جوشکاری، مقادیر متغیرهای G (شیب حرارتی) و R (نرخ انجماد) و نسبت G/R و حاصل ضرب $R \times G$ که بر ریزساختار انجماد غالب هستند محاسبه و همبستگی ساختاری با خواص مکانیکی حاصل از جوش بررسی می‌گردد. تحقیق حاضر به جوشکاری لیزر فیبری ابرآلیاژ L-605 مبتنی بر کالت از ورقهایی با ضخامت 2 میلی‌متر می‌پردازد و به تجزیه و تحلیل دقیق ریزساختار، ریزساختی، استحکام کششی اتصالات می‌پردازد.

2- روش آزمایش

2-1- مواد اولیه و تجهیزات جوشکاری

ابرآلیاژ مورد استفاده در این تحقیق، ابرآلیاژ پایه کالت هاینس 25 (UNS R30605) به صورت یک شمش چهارپهلو است. از این چهارپهلو ورقهای نازک در جهت مقطع نمونه توسط دستگاه واپرکات با ضخامت 2 میلی‌متر برش خورده شد. ترکیب شیمیایی بدست آمده از آزمایش کوانتمتری یا طیف‌سنج جرقه‌ای برروی این ابرآلیاژ به شرح جدول (1) است. در این تحقیق از دستگاه جوشکاری لیزر فیبری ضربانی استفاده شد. لیزر مورد استفاده لیزر فیبری ایتریبیوم مدل YLR پیوسته (C.W) با قابلیت تبدیل به موج ضربانی است. ترکیبی منحصر به فرد از قدرت بالا، پایداری بالا، کیفیت پرتو ایده‌آل، طول عمر فوق العاده طولانی و راندمان برق خیلی خوب را ارائه می‌دهند. این لیزرهای را می‌توان در بسامدهای تا 50 کیلو هرتز مدوله کرد. مازولهای فشرده تا 500 وات شامل واحدهای خنک کننده هوا تا 700 وات و واحدهای خنک‌شونده با آب تا 4 کیلو وات است. خروجی تک حالته تا 3 کیلووات ممکن است از طریق کولیماتور یا اتصال دهنده

محیط گاز داغ دارد. فرایندهای جوشکاری مختلف با نرخ رسوب فلز بالا مانند جوشکاری قوس فلزی گازی (GMAW)، جوشکاری قوسی تنگستن گازی (GTAW) عیوب گسترده‌ای در منطقه تحت تاثیر حرارت (HAZ) و در محل اتصالات نشان دادند که استفاده از آن را در اجزای پیچیده محدود می‌کند. جوش لیزری حداقل عیوب کمتری در ناحیه جوش تشکیل داده و HAZ باریکتری ایجاد می‌کند [5-6]. اگرچه چندین فرایند جوشکاری لیزری (با استفاده از لیزرهای گازی و لیزرهای حالت جامد) وجود دارد، اما به دلیل هزینه نگهداری پایین و قابلیت اطمینان بالای منع لیزر، جوشکاری لیزر فیبر نسبت به سایر فرایندها ارجحیت دارد [8-7]. جوشکاری ابرآلیاژهای مختلف توسط محققان بسیاری گزارش شده است به عنوان مثال، اوسویا و همکاران [9]، جوشکاری لیزری ابرآلیاژ هایس 282 را انجام داده‌اند و تشکیل ریز جدایش در ناحیه هم‌جوشی مشاهده کرده‌اند.

شماعیان و همکاران [10] جوشکاری لیزری ضربانی Nd: YAG ابرآلیاژهای مبتنی بر Co را انجام دادند و مشاهده کردند که گرمای ورودی در فرایند جوشکاری نقش عمده‌ای در کنترل ریزساختار و جهت‌گیری دانه در جوش دارد. با این حال، تغییرات در گرمای ورودی تأثیر ناچیزی بر خواص مکانیکی داشت. پالانیول و همکاران [11] جوشکاری لیزر Nd:YAG اینکونول 800 را مورد مطالعه قرار دادند و تشکیل ساختار دندانه‌ای ستونی بلند و هم محور ظرفی را در ناحیه هم‌جوشی مشاهده کردند. علاوه بر این، به دلیل نرخ سرد شدن بالاتر فرایند جوشکاری لیزری تبدیل فازی رخ داد. شکست نرم اتصالات جوش داده شده در سرعت جوش پایین رخ داد. در حالی که شکست ترد در سرعت جوش پایین رخ داد. خواص متالورژیکی، مقاومت در برابر خوردگی و تنش‌های پسماند در تمامی کاربردهای فوق نقش مهمی ایفا می‌کند. برخی از کاربردها به هندسه جوش بهتری با ناحیه باریک متاثر از حرارت نیاز دارند که برآوردن آن از طریق فرایندهای جوشکاری معمولی دشوار است. این الزامات ممکن است با استفاده از یک منع حرارت بسیار متراکم، مانند فرایندهای

دانه‌بندی جوش، فلزپایه و منطقه متأثر از حرارت و نیز تشخیص و تحلیل کاربیدها و فازهای ثانویه در زمینه فلزپایه و منطقه جوش (تعیین ترکیب شیمیایی زمینه و تحلیل نقطه‌ای و توده حجمی به صورت عنصری طیف‌ستجی انرژی پراش پرتوی ایکس (EDS) از میکروسکوپ الکترونی روبشی مدل VEGA-TESCAN-LMU استفاده شده است. برای توپوگرافی سطحی از الکترون‌های ثانویه در بزرگنمایی بالا استفاده شده است. ریزساختار فلزپایه توسط میکروسکوپ نوری در شکل (۱-الف) نشان می‌دهد فازهای کاربیدی W و Cr با رنگ قرمز در زمینه آستنیت مشاهده شد. متوسط اندازه دانه‌های آستنیت ۶۰ میکرومتر بود. تصاویر گرفته شده با میکروسکوپ الکترونی روبشی (SEM) از این آبیاز در شکل‌های (۱-ب و ۱-ج) نمایش داده شده است. آنالیز انرژی پراش پرتو ایکس (جدول ۳) همچنان نشان دهنده این است که زمینه آلیاژ پایه کبالت دارای ساختار آستنیتی (FCC) است و نیز کاربیدهای Cr_{23}C_6 و WCr_3 (منطقه A یا همان مرز دانه‌ها) و کاربید Cr_7C_3 (منطقه B) نیز در زمینه مشاهده شد. میکروگراف با بزرگنمایی بالا (شکل ۱-ب، ۱-ج) نشان می‌دهد که این فاز کاربید برخی از مرز دانه‌های فاز آستنیت را پوشانده است. نتیجه مطابق با گزارش‌های قبلی در منابع می‌باشد [۷-۱۰]. کاربیدهای M_6C ، M_7C_3 و M_{23}C_6 می‌توانند در زمینه آستنیتی آلیاژهای مبتنی بر Co تشکیل شوند. کاربیدهای M_{23}C_6 در مراحل اولیه پیرسازی تشکیل می‌گردد و سپس به کاربید M_7C_3 تبدیل می‌گردد. علاوه بر این، فاز Co_2W ، به عنوان یک فاز بین فلزی، می‌تواند در آلیاژ L-605 تشکیل شود. با این حال، به نظر می‌رسد تنها فازهای موجود در زمینه کاربیدهای کروم و تنگستن در زمینه آستنیت تشکیل شده است و سایر فازهای ثانویه شناسایی نشدنند.

2-۳-آزمون‌های مکانیکی

سختی‌سنجی ویکرز بر روی مواد اولیه و همچنین پس از عملیات جوش لیزر انجام شد. آزمون سختی با اعمال با ۰/۱ کیلوگرم در طول ۱۰ ثانیه و سپس اندازه‌گیری قطرهای

QBH یکپارچه شود. کاربردهای تک حالته شامل برش دقیق و میکرو سوراخکاری و همچنین چاپ سه بعدی فلزی است. خروجی چند حالته از یک فیبر شاخص با قطر هسته از ۵۰ تا ۲۰۰ میکرون ساطع می‌شود، که امکان عملکرد بهینه را برای کاربردهای مهم جوشکاری و ساخت افزایشی فراهم می‌کند. نکته مهم در تمام این آزمایش‌ها ثابت نگه داشتن دبی گاز محافظ (آرگون ۹۹,۹۹ درصد خلوص) برای تمام نمونه برابر ۱۰ لیتر بر دقیقه می‌باشد.

در این تحقیق از دستگاه جوشکاری لیزر فیبری ضربانی استفاده شد. جوشکاری ۲۱ نمونه با متغیرهای مختلف جوشکاری انجام شد. متغیرهای توان حداکثری، پهنه‌ای زمانی ضربان، بسامد و سرعت جوشکاری در جدول (۲) گزارش شده است.

2-۲-شناسایی ریزساختاری

نمونه‌های جوشکاری شده بصورت عرضی مقطع زده شدن و بعد از مانت کردن نمونه‌ها، سطح آن‌ها توسط سمباده‌های ۱۰۰ تا ۲۰۰۰ آماده‌سازی شد و سپس برای صیقلی شدن سطح آن از جladhende با پودر آلومینا استفاده شد. پس از آماده‌سازی سطحی، برای پدیدار شدن ریزساختار توسط میکروسکوپ نوری با استفاده از محلول ۱۵ میلی‌لیتر اسید هیدروکلریک، ۱۰ میلی‌لیتر اسید استیک و ۵ میلی‌لیتر اسید نیتریک به همراه ۲ قطره گلیسرول به مدت ۵۰ ثانیه حکاکی شد. پس از حکاکی در این محلول اسیدی، سطح نمونه‌ها در دستگاه آتراسونیک کاملاً شسته و خشک شدن و آماده بررسی ریزساختار آن‌ها در زیر میکروسکوپ نوری و الکترونی شدند.

برای مطالعه ساختار جوش و فلزپایه در این تحقیق از میکروسکوپ نوری LEICA DM4000 M استفاده شد. تصاویر با دوربین دیجیتال HC-z300 گرفته شده است. برای بررسی ریزساختار و تحلیل تصاویر میکروسکوپ نوری از نرم افزار J Image برای تحلیل تصاویر و مقیاس‌گذاری استفاده شده است. همچنین برای تصاویر ماکرو در بزرگنمایی کمتر از استریو میکروسکوپ استفاده شد. برای آشکارسازی ساختار و

جدول ۱- ترکیب شیمیایی هاینس ۲۵ بر اساس درصد.

| P | S | C | Si | Mn | Fe | Ni | W | Cr | Co |
|------|------|-----|-----|-----|----|----|----|----|----|
| ۰/۰۴ | ۰/۰۳ | ۰/۱ | ۰/۴ | ۱/۵ | ۳ | ۱۰ | ۱۵ | ۲۰ | ۵۰ |

جدول ۲- متغیرهای جوشکاری لیزر فیبری ضربانی لب به لب هاینس ۲۵ و متغیرهای پردازش شده.

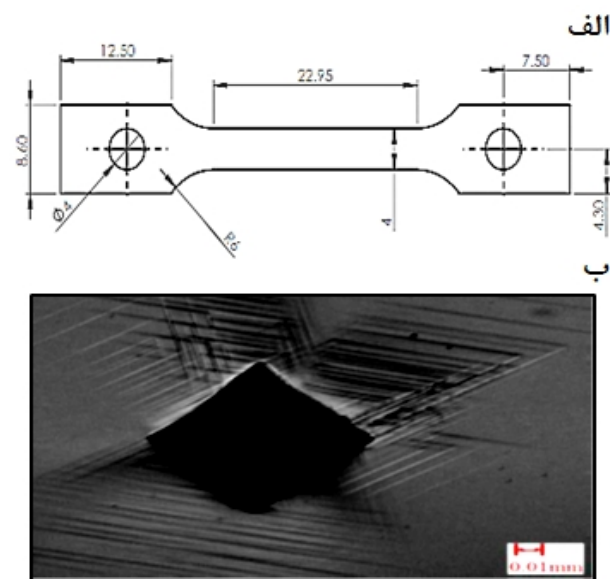
| شماره نمونه‌ها | توان حداکثری (W) | توان متوسط (W) | بسامد ضربان (Hz) | سرعت جوشکاری (mm/s) | پهنهای زمانی ضربان (ms) | چگالی توان حداکثری مؤثر (W/mm ²) |
|----------------|------------------|----------------|------------------|---------------------|-------------------------|--|
| ۱ | ۴۵۰ | ۲۷۰ | ۳۰ | ۶ | ۲۰ | ۱۳۹۴ |
| ۲ | ۴۷۵ | ۲۸۵ | ۳۰ | ۶ | ۲۰ | ۱۴۷۱ |
| ۳ | ۵۰۰ | ۳۰۰ | ۳۰ | ۶ | ۲۰ | ۱۵۴۹ |
| ۴ | ۴۵۰ | ۲۳۴ | ۳۵ | ۶ | ۱۵ | ۱۵۹۳ |
| ۵ | ۴۷۵ | ۲۴۷ | ۳۵ | ۶ | ۱۵ | ۱۶۸۱ |
| ۶ | ۵۰۰ | ۲۶۰ | ۳۵ | ۶ | ۱۵ | ۱۷۷۰ |
| ۷ | ۴۷۵ | ۲۲۱ | ۴۵ | ۶ | ۱۵ | ۲۱۰۲ |
| ۸ | ۴۷۵ | ۲۸۵ | ۴۰ | ۶ | ۱۵ | ۱۸۹۲ |
| ۹ | ۴۷۵ | ۲۴۷ | ۳۵ | ۶ | ۱۵ | ۱۶۸۱ |
| ۱۰ | ۴۷۵ | ۲۱۴ | ۳۰ | ۶ | ۱۵ | ۱۴۷۱ |
| ۱۱ | ۴۷۵ | ۱۸۱ | ۲۵ | ۶ | ۱۵ | ۱۲۶۱ |
| ۱۲ | ۴۵۰ | ۲۷۰ | ۳۰ | ۶/۴ | ۲۰ | ۱۳۱۹ |
| ۱۳ | ۴۵۰ | ۲۷۰ | ۳۰ | ۵/۶ | ۲۰ | ۱۴۷۹ |
| ۱۴ | ۴۵۰ | ۲۷۰ | ۳۰ | ۵/۲ | ۲۰ | ۱۵۷۸ |
| ۱۵ | ۴۵۰ | ۲۰۳ | ۳۰ | ۴/۶ | ۱۵ | ۱۷۵۷ |
| ۱۶ | ۴۵۰ | ۲۰۳ | ۳۰ | ۴ | ۱۵ | ۱۹۹۱ |
| ۱۷ | ۴۵۰ | ۲۰۳ | ۳۰ | ۳/۴ | ۱۵ | ۲۳۰۷ |
| ۱۸ | ۴۷۵ | ۱۶۶ | ۳۵ | ۶ | ۱۰ | ۱۶۸۱ |
| ۱۹ | ۴۷۵ | ۲۴۷ | ۳۵ | ۶ | ۱۵ | ۱۶۸۱ |
| ۲۰ | ۴۷۵ | ۳۳۳ | ۳۵ | ۶ | ۲۰ | ۱۶۸۱ |
| ۲۱ | ۴۷۵ | ۴۱۶ | ۳۵ | ۶ | ۲۵ | ۱۶۸۱ |

دقیقی تنظیم شدند که شکست در قسمت در طول گیج صورت پذیرد (شکل ۲-الف).

برای رسیدن به نتایجی که کاملاً بیانگر خواص ماده باشد، سعی شد که بارگذاری کاملاً محوری اعمال گردد. آزمون کشش به وسیله دستگاه کشش یونیورسال LA550-AI-7000-KN با نرخ کرنش ۳ mm/min انجام شد. بعد از قراردادن نمونه در دستگاه،

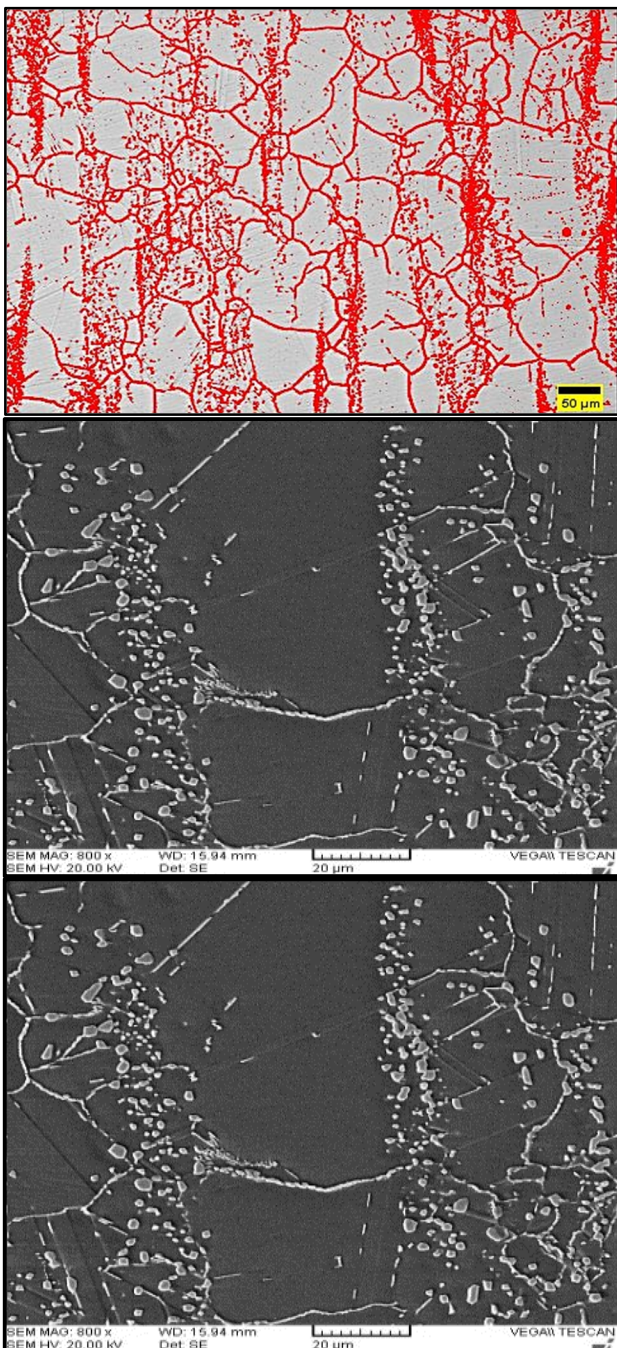
فرورفتگی انجام شد (شکل ۲). برای نمونه‌های جوشکاری شده، ابتدا سطح سمباده زنی شده و سپس با پولیش جلا داده شد تا لایه‌های اکسید حذف شوند. سختی ویکرز در مرکز این ورق آزمایش شد. فرورفتگی، لغزش‌های کریستالی زیادی در اطراف ناحیه تغییر شکل موisman ایجاد می‌کند. در این تحقیق همچنین نمونه‌های مورد استفاده در آزمون استاندارد کشش با

سختی ویکرز در مزکر این ورق آزمایش شد. فرورفتگی، لغزش‌های کریستالی زیادی در اطراف ناحیه تغییر شکل موسمان ایجاد می‌کند. در این تحقیق همچنین نمونه‌های مورد استفاده در آزمون استاندارد کشش با دقیقی تنظیم شدند که شکست در قسمت در طول گیج صورت پذیرد (شکل ۲-الف). برای رسیدن به نتایجی که کاملاً بیانگر خواص ماده باشد، سعی شد که بارگذاری کاملاً محوری اعمال گردد. آزمون کشش به وسیله دستگاه کشش یونیورسال KN AI-7000-LA550 با نرخ کرنش ۳ mm/min انجام شد. بعد از قراردادن نمونه در دستگاه، نیروی کششی به نمونه اعمال می‌شود تا زمانی که شکست رخ دهد.



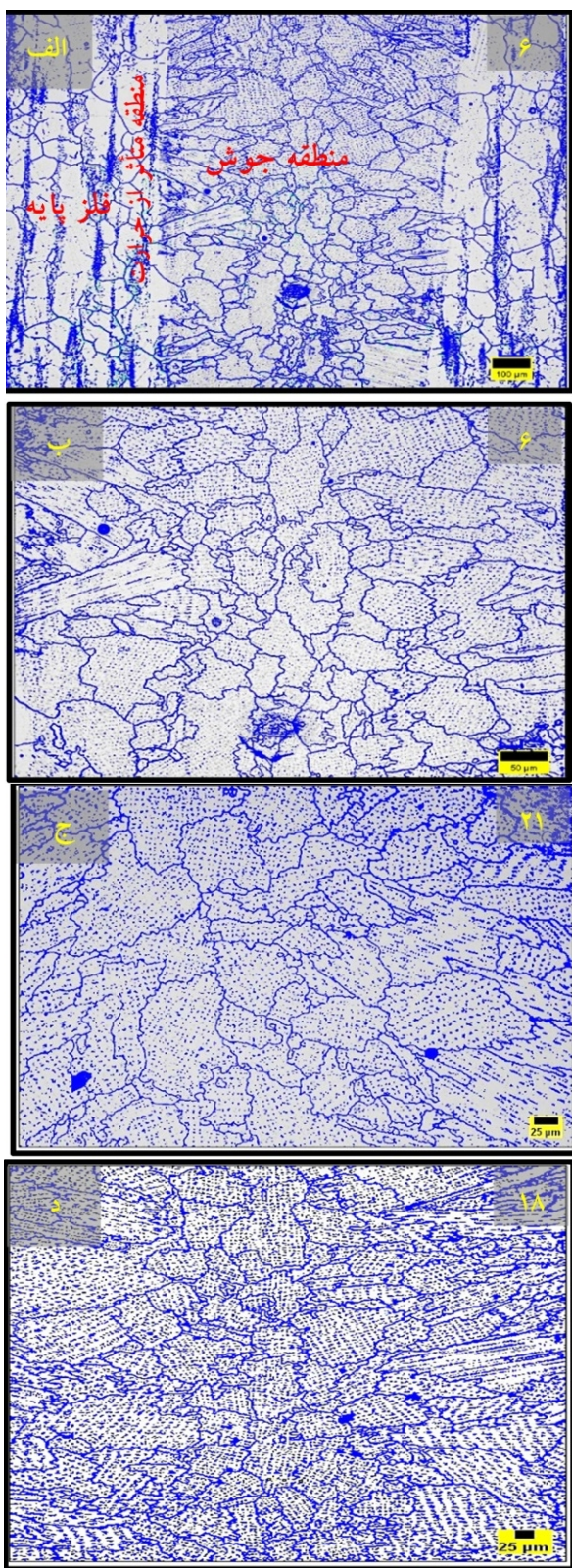
شکل ۲-الف- ابعاد و اندازه نمونه های آزمون کشش مطابق ASTM-E8
ب- تصویر فرورفتگی آزمون سختی ویکرز.

نیروی کششی به نمونه اعمال می‌شود تا زمانی که شکست رخ دهد.



شکل ۱- تصاویر میکروسکوپ الکترونی رویی برای ابرآیاژ هاینس 25
الف- ریزساختار و تجمع کاربید ها در زمینه آستینیتی ب و ج - تحلیل طیف سنتجی انرژی پراش پرتونی ایکس (EDS) از کاربیدهای موجود در زمینه.

برای نمونه‌های جوشکاری شده، ابتدا سطح سمباده زنی شده و سپس با پولیش جلا داده شد تا لایه‌های اکسید حذف شوند.



شکل ۳- تصاویر ریزساختاری نمونه‌های جوش داده شده
الف- فلزپایه و فلز جوش شماره ۶ ب- مرکز جوش شماره ۲۱
ج- مرکز جوش شماره ۲۱ د- مرکز جوش شماره ۱۸.

مقادیر G (شیب حرارتی) و R (نرخ انجماد) اغلب تعیین کننده ریزساختار انجماد هستند. نسبت G/R حالت انجماد را تعیین می‌کند در حالی که $R \times G$ اندازه ساختار انجماد را تعیین می‌کند. مقدار $G \times R$ بالاتر، باعث تمایل به تشکیل ساختارهای دانه ریز می‌شود. تصاویر شکل (۳) که از منطقه جوش گرفته شده است نشان می‌دهد که نمونه شماره ۱۸ که دارای بیشترین مقدار G/R است کمترین اندازه دانه را در بین سایر نمونه‌ها نشان داد و نمونه شماره ۲۱ کمترین مقدار R/G دارد، بیشترین اندازه دانه را با بیشترین مقدار R/G نشان داد. در شکل (۴) می‌توان روابط بین گرمای ورودی و همچنین سرعت سرمایش را با اندازه دانه منطقه جوش پیدا کرد. برای بدست آوردن یک جوش سالم شامل عدم وجود ترک در منطقه جوش، پاشش کم و نیز دارای نفوذ کامل بدون گودی زیاد سطح جوش، ۲۱ نمونه با متغیرهای مختلف را مورد بررسی قرار داده شد و از بین ۲۱ نمونه، ۲ نمونه ۹ و ۱۷ طبق جدول (۴) با توجه به موارد ذکر شده جوش سالم، انتخاب گردید. این ۲ نمونه برای بررسی خواص مکانیکی انتخاب شدند و از آنها نمونه‌های مختلفی برای آزمون کشش آماده شد. شکل (۵) نمای مقطع عرضی و همچنین ریزساختار نمونه‌های شماره ۹ و شماره ۱۷ توسط میکروسکوپ نوری نشان داده شده است. با توجه به تصاویر شکل (۵)، هر دو نمونه شماره ۹ و شماره ۱۷ جوش‌هایی با نفوذ کامل و همچنین کمترین عیب را نشان می‌دهند. ریزساختار جوش نیز نشان‌دهنده دندربیت‌های ستونی ظریف در کناره جوش و دندربیت‌های هم محور ظریف در مرکز جوش است. پس از بررسی ساختار با میکروسکوپ نوری، ریزساختار با میکروسکوپ الکترونی روبشی نیز مورد بررسی قرارداده شد. در مشاهدات ریزساختاری هر دو نمونه جوش ۹ و ۱۷ ساختار دندربیتی مشاهده شد. این ساختار در فصل مشترک فلزجوش و فلزپایه شامل دندربیت‌های ستونی است (شکل ۶-الف، ۶-د). با حرکت به سمت وسط جوش، ریزساختار ترکیبی از ستونی و هم محور در ناحیه بین کنار جوش و مرکز جوش مشاهده می‌شود (شکل ۶-ب، ۶-و) و در مرکز فلزجوش دندربیت‌های هم محور (شکل ۶-ج، ۶-ی) قابل مشاهده است.

جدول ۳- درصد وزنی مناطق A و B فلز پایه هاینس ۲۵

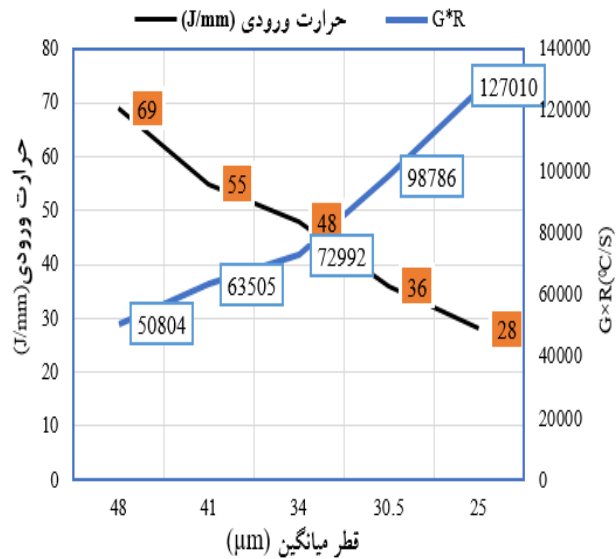
| ترکیب شیمیایی رسوب | C | Fe | Ni | W | Cr | Co | منطقه | عناصر |
|---|------|-----|------|------|------|------|-------|-----------|
| Cr_{23}C_6 (W, Cr) ₇ C ₃ | ۲ | ۳ | ۱۰ | ۱۲ | ۲۵ | ۴۷ | A | درصد وزنی |
| | ۹/۵ | ۲/۹ | ۱۰/۴ | ۳/۶ | ۲۷/۸ | ۴۵/۸ | | درصد اتمی |
| W ₆ C Cr ₇ C ₃ | ۰/۴۴ | ۳/۶ | ۸/۲ | ۲۳/۸ | ۲۳/۶ | ۴۰ | B | درصد وزنی |
| | ۲/۵ | ۴/۲ | ۹/۳ | ۸/۶ | ۳۰ | ۴۵/۴ | | درصد اتمی |

جدول ۴- متغیرهای بینه نمونه‌های جوش داده شده برای انجام آزمون‌های خواص مکانیکی.

| شوابط نفوذ جوش | انرژی ضربانی (J) | حرارت وروودی (J/mm) | سرعت سرمایش (s) | تحت تبرید (°Cs/mm ²) | چگالی قله توان موثر (W/mm ²) | چرخه وظیفه (%) | بسامد ضریبان (Hz) | بهنای زمانی ضریبان (ms) | سرعت جوشکاری (mm/s) | توان حداکثر (W) | نمونه |
|----------------------|------------------------|---------------------------|-----------------------|-------------------------------------|--|----------------------|-------------------------|-------------------------------|---------------------------|-----------------------|-------|
| کامل | ۷/۱ | ۴۱ | ۸۴۶۷۴ | ۲۲۵۲ | ۱۶۸۱ | ۵۲ | ۳۵ | ۱۵ | ۶ | ۴۷۵ | ۹ |
| ناقص | ۷/۱ | ۳۰ | ۱۱۸۵۴۳ | ۳۲۹۳ | ۱۲۶۱ | ۳۸ | ۲۵ | ۱۵ | ۶ | ۴۷۵ | ۱۱ |
| کامل | ۶/۷۵ | ۶۰ | ۵۹۰۸۹ | ۵۱۱۱ | ۲۳۰۷ | ۴۵ | ۳۰ | ۱۵ | ۲/۴ | ۴۵۰ | ۱۷ |
| ناقص | ۹ | ۴۲ | ۸۳۴۱۹ | ۲۰۳۷ | ۱۳۱۹ | ۶۰ | ۳۰ | ۲۰ | ۶/۴ | ۴۵۰ | ۱۲ |

باعث تشکیل ترکیبات بین فلزی و کاربیدی می‌شود. مقدار کربن در نقاط بین دندریتی و مرزها بیشتر از مقدار میانگین می‌باشد که نشان دهنده تشکیل ترکیبات کاربیدی است (جدول ۵). این کاربیدها تا حدی از رشد بیشتر دانه‌ها و جدایش‌های بین دندریتی جلوگیری کرده و سبب افزایش استحکام سختی فلزجوش می‌شود. در قسمت‌های روشن‌تر با تحلیل طیف‌سنجی انرژی پراش پرتو ایکس با استفاده از الکترون‌های برگشتی (BSE) مشخص شد که بیشتر کاربیدهای M₂₃C₆ و M₂₃C₇ و صورت کمتر کاربید M₇C₃ به صورت ترکیب‌های Cr₂₃C₆ در مرز دانه‌ها تشکیل شده است (نقطه B و D, W, Cr)₇C₃ در مرز دانه‌ها تشکیل شده است (نقطه B و D, ۷-الف، ج). همچنین نتایج الکترون‌های ثانویه (SE) نشان می‌دهد ذراتی که در درون دانه‌ها و فضای بین دندریتی و با M₇C₃ روشن تشکیل شده است به صورت کاربیدهای M₆C و MC با ترکیب Cr₇C₃, W₆C و WC و W₂C است (نقطه B و D, ۷-ب، د).

احتمال تشکیل ترکیبات بین فلزی به دلیل نیاز به زمان نسبتاً طولانی‌تر، در منطقه جوش بسیار کم است. با توجه به تحقیقات شینگلدکر و همکارانش [14] این امر توضیح داده شده است که به طور معمول ترکیبات بین فلزی در زمان‌های بالاتری دارد. به عنوان مثال برای تشکیل ترکیب بین فلزی Co₂W حداقل



شکل ۴- رابطه گرمای وروودی و سرعت خنکسازی با اندازه دانه در منطقه جوش.

میانگین اندازه دندریت‌های هم محور در مرکز جوش هر دو نمونه، به دلیل تفاوت در حرارت وروودی و در نتیجه سرعت سرمایش، با یکدیگر تفاوت نسبی دارد. میانگین اندازه دندریت‌های مرکز جوش در نمونه جوش شماره ۹، بین ۴ تا ۶ میکرومتر بود و این اندازه برای نمونه جوش شماره ۱۷، بین ۱۰ تا ۱۲ میکرومتر بود (شکل ۶). در فضای بین دندریتی همانطور که در شکل (۷) مشاهده می‌شود، جدایش عناصر آلیاژی

3-2-ریز سختی فلزجوش

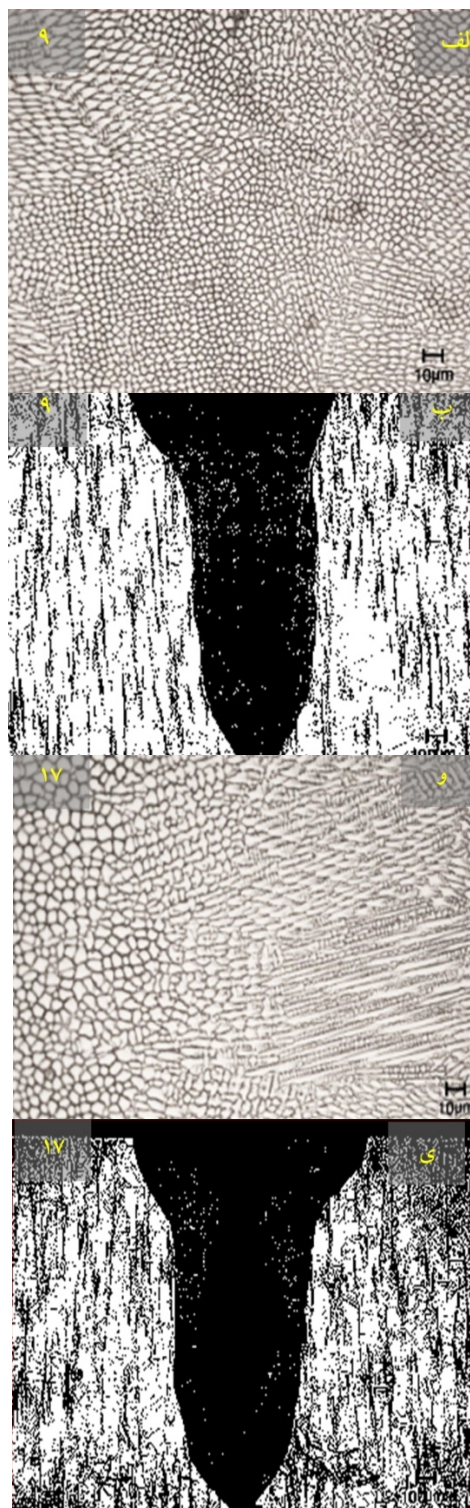
میکروسختی نمونه‌های شماره ۹ و ۱۷ در شکل (۸) آورده شده است. ریزسختی از خط مرکزی مهره جوش به سمت فلزپایه اندازه‌گیری شد. شکل (۸-الف) تصویر متالوگرافی منطقه جوش نمونه ۱۷ را نشان می‌دهد. نتایج نشان می‌دهد که میانگین سختی منطقه جوش و منطقه متأثر از حرارت برای هر دو نمونه سختاً کمی دارد (شکل ۸-ب). همانطور که انتظار می‌رود سختی تفاوت‌کمی دارد (شکل ۸-ب). همانطور که انتظار می‌رود سختی در مرکز جوش بیشتر از منطقه تحت تأثیر حرارت و بیشتر از فلزپایه است. بالاتر بودن سختی منطقه جوش می‌تواند در اثر سرمایش سریع‌تر منطقه جوش لیزر باشد که منجر به تشکیل فازهای آستنیت و آستنیت+کاربید و نیز تشکیل ریزساختارهای دندانه‌ای طریف باشد.

احتمال تشکیل ترکیبات بین فلزی مختلف مانند CrFeNi، FeC و FeNi، CoC چنین ترکیبات بین فلزی در منطقه جوش به دلیل سرعت سرمایش بالا خیلی کم می‌باشد [۱۴]. در کنار دلایل ذکر شده، سختی بیشتر می‌تواند ناشی از سرعت سرمایش زیاد و تشکیل ریزساختارهای دندانه‌ای طریف باشد. مشاهدات مشابهی نیز توسط پراساد و همکاران [۷] گزارش شده است. در این تحقیق مشاهده شد که سختی منطقه جوش آلیاژ پایه کبالت Hastelloy X بیشتر از سختی منطقه جوش X است که تحت عملیات حرارتی بازبخت قرار گرفته است. متوسط سختی مناطق تحت تأثیر حرارت بین ۳۱۵ و ۳۱۸ ویکرز بود که کمی بالاتر از سختی فلزپایه است. دلیل این افزایش سختی در ناحیه متأثر از حرارت، می‌تواند ناشی از تغییرات در جهت دانه فاز آستنیت باشد. تحقیق مشابهی [۱۰] نشان می‌دهد که برخی از دانه‌های آستنیت تشکیل شده در مناطق تحت تأثیر حرارت، جهت گیری $\langle 100 \rangle$ را در TD نشان دادند.

3-3-آزمون کشش دمای محیط

(شکل ۹-الف، ۹-ب) مقایسه استحکام نهایی، استحکام تسلیم و ازدیاد طول سه نمونه فلزپایه، نمونه جوشکاری شده شماره ۹ و نمونه ۱۷ را ارائه می‌دهد. برای هر دو نمونه آزمون کشش

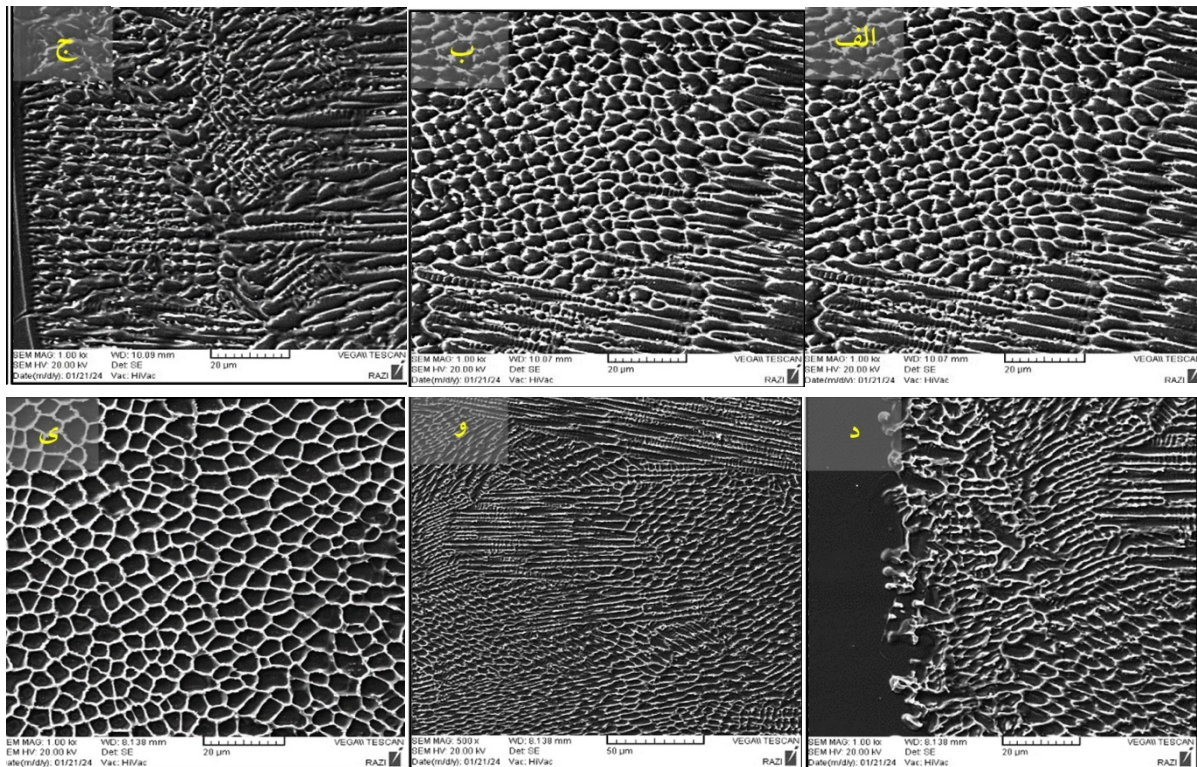
۵ ساعت در دمای ۱۰۵۰°C نیاز است، این در حالی است که جهت تشکیل ترکیب‌های کاربیدی M7C به زمان چند دقیقه و دمای نزدیک به ۹۵۰°C دارد.



شکل ۵-تصاویر میکروسکوپ نوری سطح و مقطع عرضی و ریزساختار منطقه جوش الف، ب- نمونه ۹ و و، ی- نمونه ۱۷.

جدول ۵- درصد وزنی مناطق A، B، C و D منطقه جوش نمونه شماره ۹ و ۱۷.

| ترکیب شیمیایی رسوب | C | Fe | Ni | W | Cr | Co | منطقه | عناصر |
|---|-----|-----|------|------|------|------|-------|-----------|
| Cr_{23}C_6 $(\text{W}, \text{Cr})_7\text{C}_3$ | ۰/۶ | ۳ | ۹/۴ | ۲۰ | ۲۲ | ۴۵ | A | درصد وزنی |
| | ۳/۴ | ۳/۵ | ۱۰/۴ | ۷ | ۲۶/۱ | ۴۹/۶ | | درصد اتمی |
| W_6C Cr_7C_3 | ۱/۵ | ۳ | ۷ | ۲۴ | ۲۷ | ۳۷/۵ | B | درصد وزنی |
| | ۷/۶ | ۳/۳ | ۷/۶ | ۸/۵ | ۳۲/۸ | ۴۰/۲ | | درصد اتمی |
| Cr_{23}C_6 $(\text{W}, \text{Cr})_7\text{C}_3$ | ۰/۶ | ۰/۶ | ۱۱ | ۱۷ | ۲۴ | ۴۶/۸ | C | درصد وزنی |
| | ۳/۱ | ۰/۶ | ۱۲ | ۵/۷ | ۲۸/۴ | ۵۰/۲ | | درصد اتمی |
| Cr_7C_3 WC | ۳/۷ | ۲ | ۵ | ۴۰ | ۱۸ | ۳۱ | D | درصد وزنی |
| | ۲۰ | ۲/۳ | ۵/۹ | ۱۴/۲ | ۲۲/۵ | ۳۵ | | درصد اتمی |



شکل ۶- تصاویر میکروسکوپ الکترونی رویشی (SEM) ریزساختار الف. کتاره جوش ب، تا وسط آن جوش نمونه

شماره ۹ (الف، ب، ج) و نمونه شماره ۱۷ (د، و، ی)

ایجاد می‌شود که به دلیل آنکه خط جدایی در مرکز ناحیه جوش مشاهده می‌شود منجر به تشکیل قسمت ضعیفتر می‌شود. بنابراین، بهینه‌سازی متغیرهای فرایند ورودی برای استحکام بهتر اتصال جوش انجام شد و از نمونه‌های بی‌عیب با دانه‌بندی ریزتر استفاده شد.

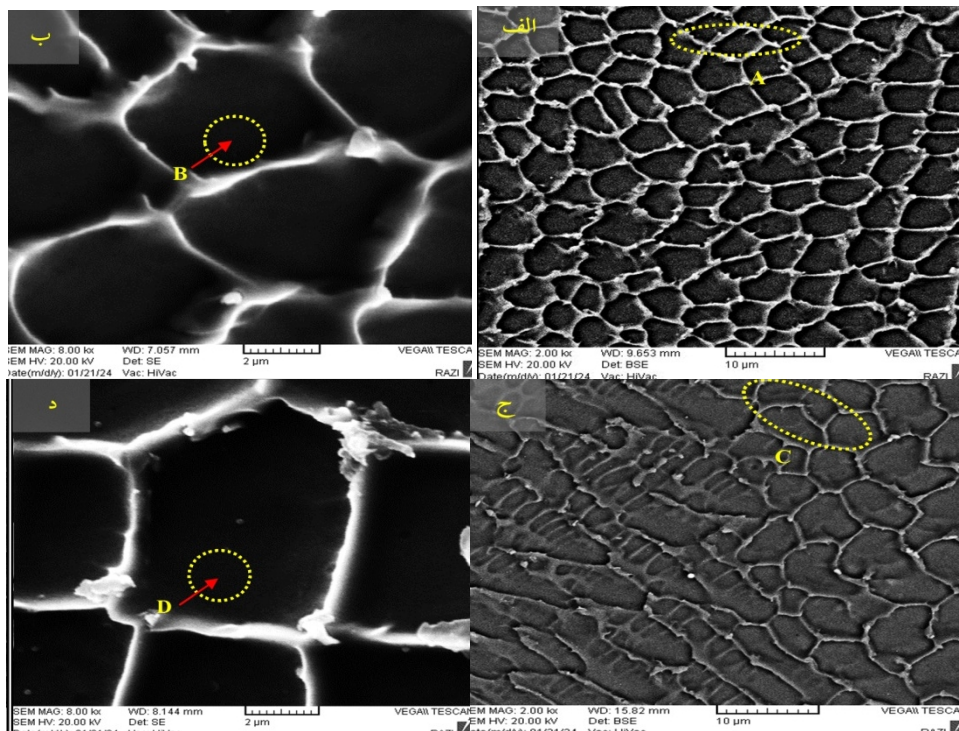
3-4-شکست‌نگاری

آلیارهای هاینس 25 از طریق رویشی به نام ادغام ریز حفره‌ها منجر به شکست می‌شود. ریز حفره‌ها در مناطقی که ناپیوستگی

نمونه‌های جوشکاری شده شماره ۹ و شماره ۱۷، محل شکست فلزجوش بود. که در تمام نمونه‌های جوش استحکام کششی ۹۴ و ۹۳ درصد استحکام نهایی فلزپایه را داشته است. این اتفاق به دلیل تشکیل دانه‌های همپایه است که در امتداد محور مهره جوش قرار داشت. انجام فلزمداب از دو طرف ناحیه اتصال جوش (به عنوان بخش خنک‌کننده عمل می‌کند) شروع می‌شود. با توجه به نوع انجام داد که از دو طرف خط جوش شروع می‌شود، در نتیجه پایان انجام داد در مرکز جوش کامل می‌شود. در طول فرایند انجام داد، ساختار دانه‌ای هم محور در ناحیه جوش

جدول ۶- درصد وزنی عناصر مناطق A، B و C سطح مقطع شکست فلزپایه.

| ترکیب شیمیایی رسوب | C | Fe | Ni | W | Cr | Co | منطقه | عناصر |
|--------------------------------------|------|----|-----|-----|------|-------|-------|-----------|
| WC Cr ₇ C ₃ | ۶ | - | ۳ | ۴۰ | ۲۴ | ۲۵ | A | درصد وزنی |
| | ۲۹/۹ | - | ۳/۵ | ۱۳ | ۲۷/۶ | ۲۶ | | درصد اتمی |
| Cr ₇ C ₃ | ۱۴ | - | ۸ | ۴ | ۲۶ | ۴۵ | B | درصد وزنی |
| | ۴۵ | - | ۵/۱ | ۱ | ۱۸/۸ | ۲۸/۷ | | درصد اتمی |
| WC Cr ₇ C ₃ | ۱۰ | - | ۷ | ۳۴ | ۱۷ | ۳۰ | C | درصد وزنی |
| | ۴۳ | - | ۶ | ۹/۱ | ۱۶/۳ | ۲۵/۲۴ | | درصد اتمی |



شکل ۷- تصاویر میکروسکوپ الکترونی رویشی الف- تحلیل طیف‌سنجی انرژی پراش پرتو ایکس از الکترون‌های ثانویه (SE) نمونه شماره ۹، ب- تحلیل طیف‌سنجی انرژی پراش پرتو ایکس از الکترون‌های برگشتی (BSE) نمونه شماره ۹، ج- تحلیل طیف‌سنجی انرژی پراش پرتو ایکس از الکترون‌های ثانویه (BSE) نمونه شماره ۱۷، د- تحلیل طیف‌سنجی انرژی پراش پرتو ایکس از الکترون‌های برگشتی (BSE) نمونه شماره ۱۷.

شامل ریزخفرهایی باشد که با بررش از طریق نوارهای لغزشی به هم متصل می‌شوند.

در شکست سطحی، که شکستگی انعطاف‌پذیر را مشخص می‌کند، که در آن تعداد زیادی شکل و حجم ریز فرورفتگی‌ها و ریزخفرهای (دیمپل‌ها) یافت می‌شود. گودی‌های نشان داده شده در شکل (۱۰-الف)، شکل نعل اسبی بلندی را از فرورفتگی‌های حاصل نشان می‌دهند که باعث کاهش شکل‌پذیری می‌شود. شکل (۱۰) با بزرگنمایی‌های مختلف سطح شکست فلزپایه، برخی از این وجوده شکاف و مرزهای ترک و نیز کاربیدهای سخت را نشان می‌دهد (شکل ۱۰).

کرنش پراکنده وجود دارد مانند مناطقی که با دانه‌های فاز دوم، آخال‌ها، و توده‌های نابجایی مرتبط هستند، ریزخفرهای رشد می‌کنند، به هم می‌پیوندند و در نهایت با افزایش تنش در ماده، یک سطح لایه پیوسته شکست را تشکیل می‌دهند.

فرورفتگی‌های فنجان مانند گودی نامیده می‌شود و شکل شکستگی به عنوان شکست فنجانی توصیف می‌شود. اگر مکان‌های هسته‌زایی مختلف تحریک شوند و خفرهای مجاور قبل از اینکه بتوانند به اندازه بزرگ‌تر گسترش یافته و با یکدیگر ادغام شوند، گودی‌های کوچکی با اندازه‌ها و اشکال مختلف ایجاد می‌شوند. ایجاد گودی‌هایی با شکل کم عمق می‌تواند

آنالیز طیف‌ستجی ذرات متنسب به کاربیدهای سطح شکست در جدول (۶) مشخص شده است که عموماً از نوع کاربیدهای WC است.

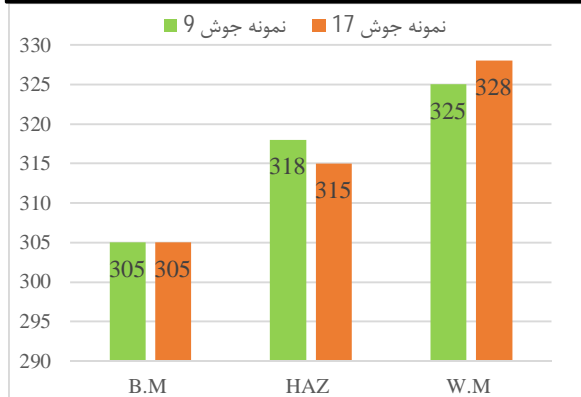
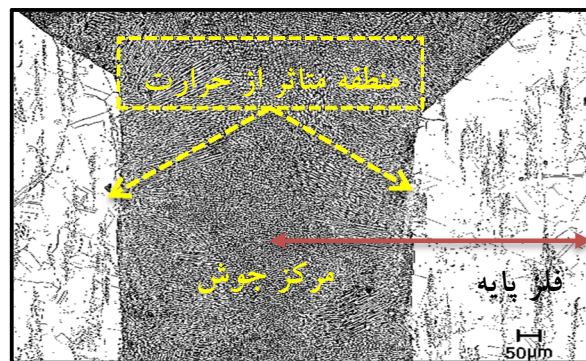
در شکل (۱۱) برخی از وجوده شکاف و مرزهای ترک در تصاویر مشاهده شد. علاوه بر این، وجههای گودی در سطوح شکسته قابل مشاهده بود، که نشان می‌دهد هر دو نمونه شماره ۹ و شماره ۱۷ تحت حالت شکست نرم-ترد شکسته شدند. همانطورکه در شکل (۱۱) نشان داده شده است ترکهای بین دانه‌ای، ریزحفره‌ها هم در حرارت ورودی زیاد و هم در حرارت ورودی کم دیده می‌شوند. در مقایسه با نمونه‌های فلزپایه، نمونه‌های جوش لیزری کاهش سطح و شکست نرم را نشان دادند و این اتفاق تقریباً برای هر دو نمونه جوش ۹ و ۱۷ یکسان بود. حالت شکست نمونه‌های فلزپایه از نوع فنجانی و مخروطی است که با کاهش کافی مساحت همراه است. لذا همانطور که مشاهده شد در نمونه‌های جوش، پالایش دانه برای افزایش استحکام کشش کافی نیست، این را می‌توان به وجود منافذی نسبت داد که ظرفیت باربری را کاهش می‌دهد و همچنین باعث ایجاد نقاط تمرکز تنفس می‌شود. کاهش تخلخل و ساختار دانه، استحکام را بهبود می‌بخشد.

4-نتیجه‌گیری

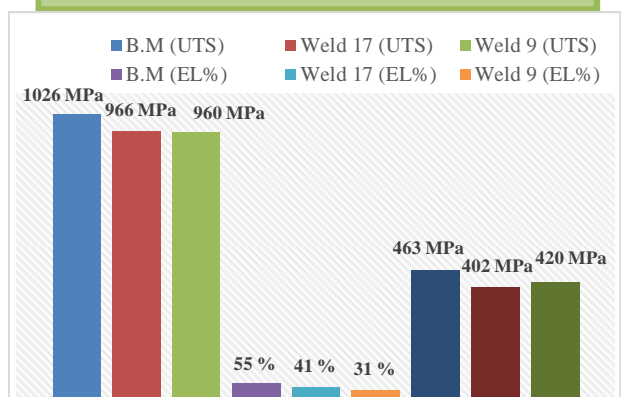
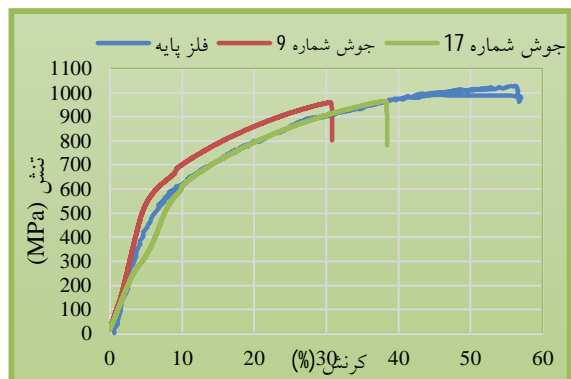
در این پژوهش، جوشکاری لیزری فیبری ضربانی ابرآلیاژ L-605 مورد بررسی قرار گرفت. ریزساختار و خواص مکانیکی جوش مورد مطالعه قرار گرفت. نتایج اصلی این مطالعه به شرح زیر است:

-هر چه انرژی و پهنای زمانی ضربان بیشتر باشد، عمق نفوذ عمیق‌تر می‌شود. این نتیجه به این واقعیت اشاره می‌کند که حتی قله توان را نمی‌توان به عنوان شاخص قطعی عمق نفوذ در جوشکاری لیزر ضربانی استفاده کرد.

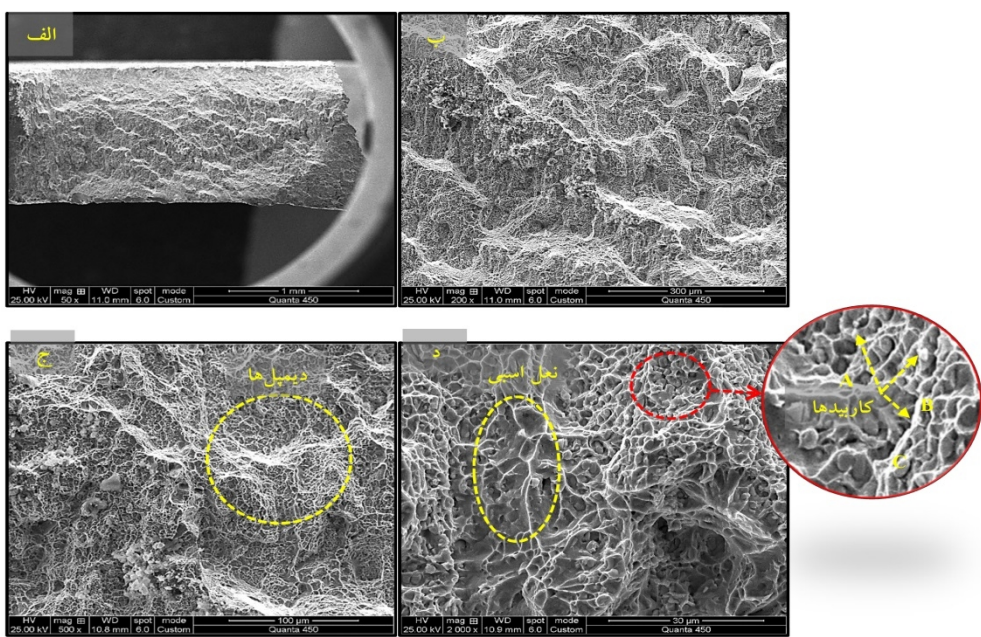
-افزایش طول ضربان منجر به افزایش عمق نفوذ شد که دلیل این مهم افزایش انرژی ضربان و توان متوسط است که به نظر می‌رسد متغیرهای اصلی جوشکاری لیزر می‌باشند.



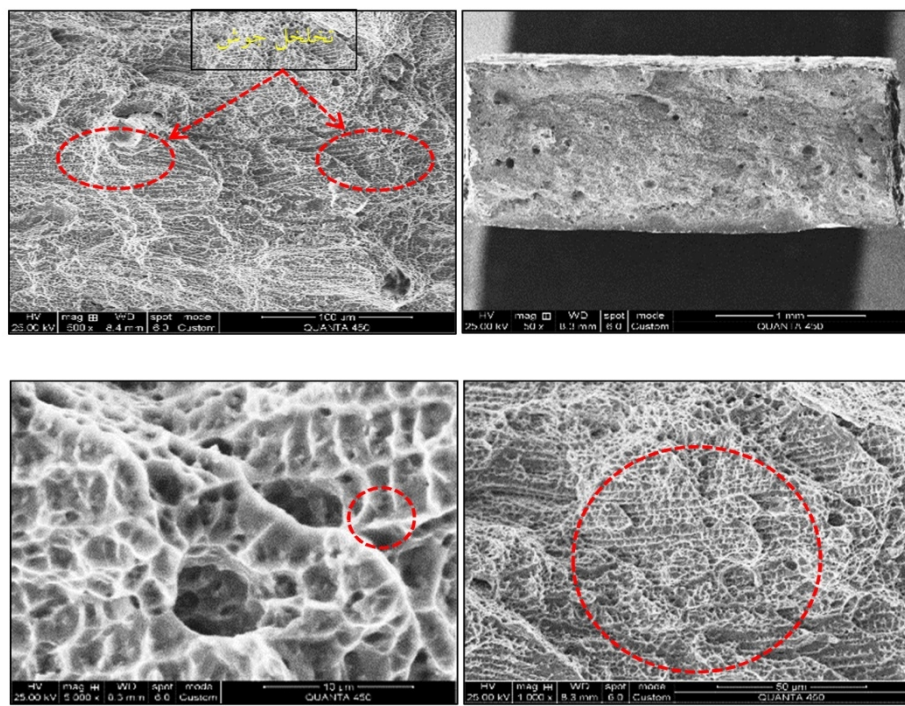
شکل ۸-الف - مقطع عرضی جوش نمونه شماره ۱۷، ب - نمودار ریزسختی منطقه جوش، منطقه تحت تاثیر حرارت و فلزپایه نمونه‌های ۹ و ۱۷.



شکل ۹-الف - نمودار تنش-کرنش برای فلزپایه و نمونه جوش ۹ و ۱۷. ب - نمودار مقایسه‌ای خواص مکانیکی فلزپایه با نمونه‌های جوش ۹ و ۱۷.



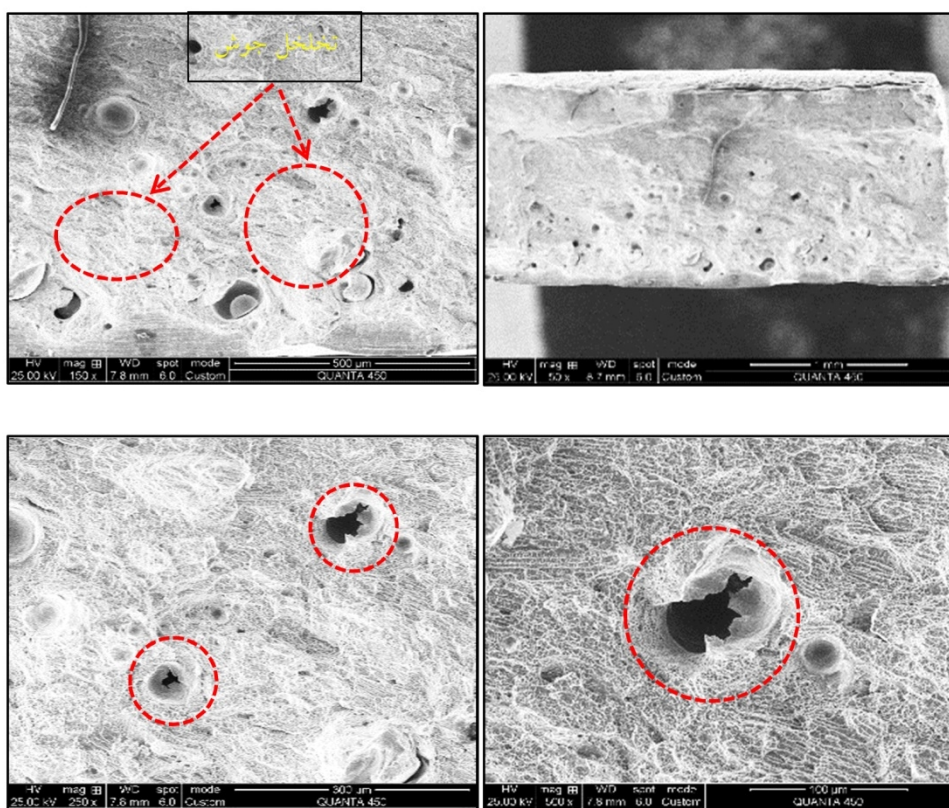
شکل ۱۰- تصاویر میکروسکوپ الکترونی روبیشی از سطح شکست نمونه آزمون کشش در دمای محیط فلز پایه و تحلیل طیف سنجی انرژی پراش پرتو ایکس از کاربیدهای موجود در سطح.



شکل ۱۱- تصاویر میکروسکوپ الکترونی روبیشی از سطح شکست آزمون کشش در دمای محیط فلز جوش نمونه شماره ۹.

کششی جوش‌ها ۹۳ و ۹۴ درصد استحکام فلز پایه بود. شکست نمونه‌های آزمون کشش در ناحیه جوش به دلیل تشکیل دانه‌های همپایی رخ داد که توسط تصاویر میکروسکوپ نوری تأیید شد. همچنین وجود فرورفتگی، شکاف بین دانه‌ای حفره‌های میکرو در سطوح شکسته مشاهده می‌شود.

- در جوشکاری لیزر فیبر ضربانی، با کنترل حرارت ورودی و سرعت انجام، میانگین اندازه دانه‌های منطقه جوش از ۴۸ میکرومتر به ۲۵ میکرومتر کاهش یافت. - نتایج بررسی‌های ریزساختاری نشان داد که در آزمون کشش، نمونه‌ها تحت حالت شکست نرم-ترد قرار گرفتند. استحکام



شکل ۱۲- تصاویر میکروسکوپ الکترونی روبشی از سطح شکست آزمون کشش در دمای محیط فلز جوش نمونه شماره ۱۷.

6-Vahidshad Y., Khodabakhshi A. H., 2022, Microstructure Investigation and Weld Zone Dimension Measurement of Haynes 230 Super Alloy Welded by Three Different Method, 4th International Conference on Welding and Non Destructive Testing & 22nd National Conference on Welding & Inspection & 11th National Conference on NDT, Isfahan.<https://civilica.com/doc/1423719>.

7-Prasad, B. H., Madhusudhan Reddy, G., Das, A. K., Prashanth, K. G., Fiber Laser Welded Cobalt Super Alloy L605: Optimization of Weldability Characteristics, Materials, 2022; 15(21): 7708.

8- Rezaei M. A., Naffakh-moosavy H., Comparison of the Effect of Pulsed Nd:YAG and Continuous Wave Fiber Laser on the Microstructure, weld Geometry and Weldability of Inconel 718 Superalloy, Journal of Advanced Materials and Technologies, 2019; 7(4): 37-49 .

9-Osoba, L. O., Ding, R. G., Ojo, O. A., Microstructural analysis of laser weld fusion zone in Haynes 282 superalloy, Materials Characterization, 2012; 65: 93-99.

10-Shamanian M., Valehi M., Kangazian J., Szpunar J. A., EBSD characterization of the L-605 Co-based alloy welds processed by pulsed Nd: YAG laser welding. Optics & Laser Technology, 2020; 128: 103256.

- تصاویر میکروسکوپ الکترونی روبشی نشان می‌دهد که ترکیبات کاربیدی در منطقه جوش بر عکس فلزپایه بیشتر در مرزدانه‌ها تشکیل شده است.

منابع

- 1-Rao N., 2011, Advances in Gas Turbine Technology, InTechOpen, Croatia .
- 2-Pollock T.M., Alloy design for aircraft engines,: Nat. Mater., 2016; 15: 809–815 .
- 3-Devaux A., Georges E., Heritier P., Development of New C&W Superalloys for High Temperature Disk Applications, Adv. Mater. Res., 2011; 278: 405–410.
- 4-Rathod R., Anand R. S., Ashok, A., Comparative analysis of NDE techniques with image processing. Nondestructive Testing and Evaluation, 2012; 27(4): 305-326.
- 5-Emadi M, Mostaan H, Rafiei M., Evaluation of microstructure and corrosion behavior of dissimilar laser joint between Inconel 625 and AISI 430 ferritic stainless steel, Journal of Welding Science and Technology of Iran, 2020; 5(2): 103-121.

Metallurgical and Materials Transactions B, 5, 2121-21.
14-JP Shingledecker, DB Glanton, RL Martin, BL Sparks, RW Swindeman (2007) Tensile and creep-rupture evaluation of a new heat of haynes alloy 25. Oak Ridge National Laboratory report.

- 11-Kou, S. (2003). Welding metallurgy. New Jersey, USA, 431(446), 223-225.
- 12-Chalmers, B. (1964). Principles of solidification. In Applied solid state physics (pp. 161-170). Boston, MA: Springer US.
- 13-Flemings, M. C. (1974). Solidification processing.